

УДК 539.375

К ТЕОРИИ «ГОРЯЧИХ» ТРЕЩИН

*В. Д. Кулев, Г. П. Черепанов*

(Москва)

Иногда при остывании сварочного шва в нем развиваются так называемые «горячие» трещины, которые приводят к браку изделия. Аналогичное явление образования «раковин» и пустот в слитках наблюдается в металлургическом процессе.

Ниже рассматривается теоретическая модель, в рамках которой можно решить задачу об образовании и развитии горячей трещины. Решение этой задачи позволяет сравнивать различные тепловые режимы и выбирать наиболее благоприятный. Дается постановка задачи и формулируются основные допущения. Изучается кинетика роста горячей трещины. Рассматривается вопрос об асимптотическом размере горячих трещин при  $t \rightarrow \infty$  и даются простые достаточные критерии, при выполнении которых горячая трещина не образуется. Исследуется развитие трещин в математически родственной проблеме хрупкого разрушения от локального нагрева.

**1. Постановка задачи.** Пусть в начальный момент времени  $t = 0$  в контакте с твердым металлом, имеющим некоторую постоянную температуру  $T = 0$ , находится расплав, который мгновенно затвердевает, так что его температура в начальный момент постоянна и равна  $T = T_0$ . Вследствие остывания горячего металла в заполненной им области возникают растягивающие напряжения, так как на границе контакта металлы предполагаются жестко сваренными. С течением времени растягивающие напряжения возрастают, вызывая рост начальной наиболее опасной трещины или какого-либо эквивалентного дефекта. При  $t \rightarrow \infty$  остаточные напряжения и размер горячей трещины будут максимальными.

Будем считать металлы термоупругими телами, чтобы все пластические эффекты были сосредоточены лишь в малых областях вблизи контура трещин. В этом случае поставленная задача о развитии горячей трещины может быть решена в рамках механики хрупкого разрушения [1].

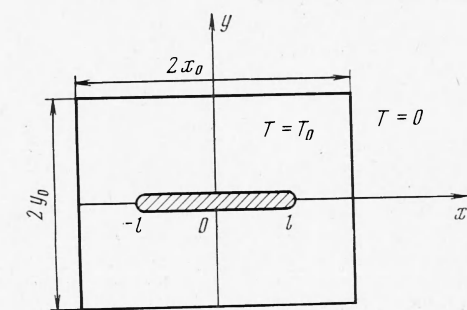
Введем также следующие допущения: а) все термоупругие постоянные не зависят от температуры и являются одинаковыми как для холодного, так и для горячего металла, б) металлы представляют собой однородное и изотропное тело, в) это тело находится в плосконапряженном состоянии (тонкая пластина). Эти допущения не имеют принципиального характера, однако позволяют найти простое эффективное решение многих практических интересных задач и выявить некоторые основные качественные эффекты. Полученные решения, как известно, можно использовать также для случая плоской деформации, если заменить упругие коэффициенты.

Сформулируем упрощенную задачу. Пусть в момент  $t = 0$  произвольная область  $S$  в бесконечной однородной и изотропной упругой пластинке мгновенно нагревается до постоянной температуры  $T = T_0$ . Остальная часть тела имеет температуру  $T = 0$  при  $t = 0$ . На границе области  $S$  нет скачка смещения; это соответствует физически замене области  $S$  нагретой шайбой точно таких же размеров. Требуется определить развитие начальной трещины во времени. Перемещения, напряжения и главный вектор сил (а также вращение) в бесконечно удаленной точке считаются равными нулю.

**2. Кинетика роста горячей трещины.** Пусть область  $S$  в вышеприведенной постановке задачи представляет собой прямоугольник со сторонами

2  $x_0$  и 2  $y_0$ . Начало декартовых координат  $x$  и  $y$  выберем в центре прямоугольника, ось  $x$  направим параллельно той стороне, длина которой равна 2  $x_0$  (фиг. 1). Пусть начальная трещина длиной 2  $l$  расположена вдоль оси  $x$  с центром в начале координат. Берега трещины свободны от внешних нагрузок. Коеффициент интенсивности напряжений на конце трещины в данной задаче с точностью, примерно равной 10%, годится также для того случая, когда вдоль оси  $y$  будет свободная от внешних нагрузок граница тела [1].

Порядок решения задачи будет следующим. Вначале определяется температурное поле; затем из уравнений термоупругости для тела без трещины находится напряжение  $\sigma_y$  при  $y = 0 |x| < l$ ; это напряжение с обратным знаком подставляется в известное общее выражение для коеффициента интенсивности напряжений в случае изолированной трещины и изотермического процесса. Зависимость константы  $K_c$  от температуры вне интервала хладноломкости можно интерполировать следующей линейной функцией:



Фиг. 1

(2.1)  $K_c = K_{c0} + AT(l, 0, t)$

где  $K_{c0}$  есть константа  $K_c$  при  $T = 0$ ,  $A$  — некоторая эмпирическая постоянная. Приравнивая  $K_I = K_c$  согласно условию Гриффитса — Ирвина получаем в неявной форме искомую зависимость длины трещины от времени.

Решение краевой задачи

$$(2.2) \quad \frac{\partial^2 T}{\partial x^2} + \frac{\partial^2 T}{\partial y^2} = \frac{1}{a} \frac{\partial T}{\partial t} \quad (-\infty < x, y < +\infty)$$

$$T = \begin{cases} T_0 = \text{const} & (x, y \in S) \\ 0 & (x, y \notin S) \end{cases} \quad \text{при } t = 0$$

будет следующим [2]:

$$(2.3) \quad T(x, y, t) = \frac{T_0}{4} \left[ \operatorname{Erf} \left( \frac{x+x_0}{2\sqrt{at}} \right) + \operatorname{Erf} \left( \frac{x_0-x}{2\sqrt{at}} \right) \right] \left[ \operatorname{Erf} \left( \frac{y+y_0}{2\sqrt{at}} \right) + \operatorname{Erf} \left( \frac{y_0-y}{2\sqrt{at}} \right) \right]$$

$$\operatorname{Erf}(z) = \frac{2}{\sqrt{\pi}} \int_0^z \exp(-u^2) du$$

где  $a$  — коэффициент температуропроводности.

Компоненты тензора напряжения  $\sigma_x$ ,  $\sigma_y$ ,  $\tau_{xy}$  выражаются через термоупругий потенциал перемещений  $\Psi$  в виде [2]

$$(2.4) \quad \sigma_x = -2G \frac{\partial^2 \Psi}{\partial y^2}, \quad \sigma_y = -2G \frac{\partial^2 \Psi}{\partial x^2}, \quad \tau_{xy} = 2G \frac{\partial^2 \Psi}{\partial x \partial y}$$

$$(2.5) \quad \Delta \Psi = (1 + v)\alpha T$$

где  $G$  — модуль сдвига,  $v$  — коэффициент Пуассона,  $\alpha$  — коэффициент линейного расширения.

Дифференцируя (2.5) по  $t$  и учитывая (2.2), получим  
(2.6)  $\Delta[\partial\Psi / \partial t - (1 + v)\alpha a T] = 0$

Как видно, функция  $\partial\Psi / \partial t - (1 + v)\alpha a T$  является гармонической по всей плоскости и, следовательно, может быть либо постоянной величиной, либо некоторой функцией времени  $g(t)$ . Без нарушения общности функцию  $g(t)$  можно считать равной нулю, так как вместо потенциала  $\Psi$  можно ввести потенциал

$$\Psi' = \Psi - \int_0^t g(\tau) d\tau$$

Таким образом, для потенциала  $\Psi'$  получается уравнение

$$\partial\Psi' / \partial t = (1 + v)\alpha a T$$

Интегрирование его приводит к формуле

$$(2.7) \quad \Psi' = (1 + v)\alpha a \int_0^t T dt + \Psi_0(x, y)$$

где  $\Psi_0(x, y)$  — потенциал перемещений, соответствующий начальной температуре, т. е.

$$\Delta\Psi_0 = (1 + v)\alpha T_0 \text{ внутри } S, \Delta\Psi_0 = 0 \text{ вне } S$$

Отсюда получаем

$$(2.8) \quad \Psi_0(x, y) = -\frac{(1 + v)\alpha T_0}{2\pi} \iint_S \ln\left(\frac{1}{R}\right) d\xi d\eta, \quad R = \sqrt{(x - \xi)^2 + (y - \eta)^2}$$

При помощи (2.3), (2.7), (2.8) и (2.4) находим  
(2.9) 
$$\sigma_y = -\frac{GT_0(1 + v)\alpha}{4\sqrt{\pi}} \left\{ 4\sqrt{\pi}\kappa(x, y) + \frac{4}{\sqrt{\pi}} \left[ \arctg\left(\frac{y + y_0}{x + x_0}\right) + \arctg\left(\frac{y_0 - y}{x_0 - x}\right) + \arctg\left(\frac{y_0 - y}{x_0 + x}\right) + \arctg\left(\frac{y_0 + y}{x_0 - x}\right) \right] - \int_0^t \frac{1}{\tau \sqrt{a\tau}} \left[ (x + x_0) \exp\left(-\frac{(x + x_0)^2}{4ax}\right) + (x_0 - x) \exp\left(-\frac{(x_0 - x)^2}{4ax}\right) \right] \left[ \operatorname{Erf}\left(\frac{y + y_0}{2\sqrt{a\tau}}\right) + \operatorname{Erf}\left(\frac{y_0 - y}{2\sqrt{a\tau}}\right) \right] d\tau \right\}$$
  

$$\kappa(x, y) = \begin{cases} 1 & (x, y \in S) \\ 0 & (x, y \notin S) \end{cases}$$

Так как коэффициент интенсивности напряжений для изолированной трещины

$$K_I = -\frac{1}{\sqrt{\pi l}} \int_{-l}^l \sigma_y(x, 0, t) \sqrt{\frac{l+x}{l-x}} dx$$

то, используя (2.9), находим

$$(2.10) \quad K_I = \frac{GT_0(1 + v)\alpha}{\sqrt{\pi l}} \left\{ \pi l + \frac{2}{\pi} \int_{-l}^l \left[ \arctg\left(\frac{y_0}{\xi + x_0}\right) + \arctg\left(\frac{y_0}{x_0 - \xi}\right) \right] \sqrt{\frac{l+\xi}{l-\xi}} d\xi - \frac{1}{2\sqrt{\pi}} \int_{-l}^l \int_x^t \frac{1}{x\sqrt{a\tau}} \left[ (\xi + x_0) \exp\left(-\frac{(\xi + x_0)^2}{4ax}\right) + (x_0 - \xi) \exp\left(-\frac{(x_0 - \xi)^2}{4ax}\right) \right] \times \operatorname{Erf}\left(\frac{y_0}{2\sqrt{a\tau}}\right) \sqrt{\frac{l+\xi}{l-\xi}} dx d\xi \right\}$$

При  $t \rightarrow \infty$  имеем

$$(2.11) \quad K_I = GT_0(1 + v)\alpha \sqrt{\pi l}$$

Длина образовавшейся горячей трещины согласно (2.11)

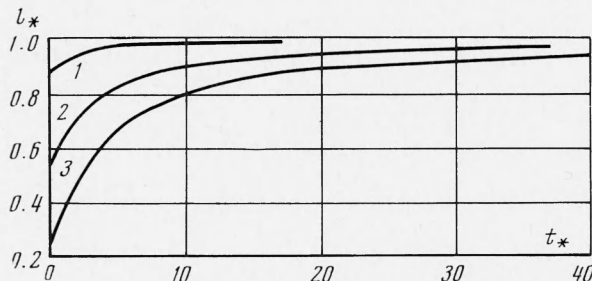
$$(2.12) \quad l_\infty = \frac{K_c^2}{\pi [GT_0(1 + v)\alpha]^2} \text{ при } t \rightarrow \infty$$

Предполагается, что трещина не выходит из области  $S$ .

Для любого момента времени на основании критерия локального разрушения  $K_I = K_c$  и (2.1), (2.10) находим

$$(2.13) \quad K_{c0} \left\{ 1 + \frac{AT_0}{2K_{c0}} \operatorname{Erf} \left( \frac{y_0}{2\sqrt{at}} \right) \left[ \operatorname{Erf} \left( \frac{l+x_0}{2\sqrt{at}} \right) + \operatorname{Erf} \left( \frac{x_0-l}{2\sqrt{at}} \right) \right] \right\} = K_I(l, t)$$

Здесь правая часть определяется формулой (2.10). На фиг. 2 в безразмерных переменных  $l_* = l / l_\infty$  и  $t_* = 4at / x_0^2$  приведены кривые



Фиг. 2

1, 2, 3 кинетики роста горячей трещины, построенные при помощи уравнений (2.10) и (2.13) для следующих значений параметров:  $x_0 = y_0 = l_\infty$ ,  $A = K_{c0} / T_0$ ,  $K_{c0} / 2T_0$ , 0 соответственно. Отметим, что вычисления проведены на БЭСМ-4 в течение нескольких минут.

**3. Асимптотический размер горячих трещин.** Докажем вначале одну теорему из теории термоупругости для произвольной односвязной области  $S$ .

*Теорема.* Пусть при  $t = 0$

$$(3.1) \quad T(x, y, 0) = T_0 \text{ внутри } S, \quad T(x, y, 0) = 0 \text{ вне } S$$

Тогда при  $t \rightarrow \infty$   $\sigma_y = \sigma_x = -G(1 + v)\alpha T_0$ ,  $\tau_{xy} = 0$  внутри  $S$ .

*Доказательство.* Решение уравнения теплопроводности (2.2), удовлетворяющее условиям (3.1), имеет вид

$$(3.2) \quad T(x, y, t) = \frac{T_0}{4\pi at} \iint_S \exp(-R^2/4at) d\xi d\eta, \quad R^2 = (x - \xi)^2 + (y - \eta)^2$$

Аналогично предыдущему при помощи (2.5) — (2.8) находим потенциал

$$(3.3)$$

$$\Psi(x, y, t) = \frac{(1 + v)\alpha T_0}{4\pi} \left\{ \int_0^t \frac{1}{\tau} \left[ \iint_S \exp(-R^2/4a\tau) d\xi d\eta \right] d\tau - 2 \iint_S \ln \left( \frac{1}{R} \right) d\xi d\eta \right\}$$

Так как контур области  $S$  не зависит от времени  $t$ , получаем

$$(3.4) \quad \Psi(x, y, t) = \frac{(1 + v) \alpha T_0}{4\pi} \iint_S \left[ \int_0^t \frac{1}{\tau} \exp(-R^2 / 4a\tau) d\tau - 2 \ln\left(\frac{1}{R}\right) \right] d\xi d\eta$$

При помощи (2.4) находим напряжения внутри  $S$

$$(3.5) \quad \begin{aligned} \sigma_y &= -G(1 + v) \alpha T_0 - \frac{G(1 + v) \alpha T_0}{2\pi} \iint_S \left\{ 2 \frac{(y - \eta)^2 - (x - \xi)^2}{R^4} + \int_0^t \frac{1}{4a^2\tau^2} [(x - \xi)^2 - \right. \\ &\quad \left. - 2a\tau] \exp(-R^2 / 4a\tau) d\tau \right\} d\xi d\eta \\ \sigma_x &= -G(1 + v) \alpha T_0 - \frac{G(1 + v) \alpha T_0}{2\pi} \iint_S \left\{ 2 \frac{(x - \xi)^2 - (y - \eta)^2}{R^4} + \int_0^t \frac{1}{4a^2\tau^2} (y - \eta)^2 - \right. \\ &\quad \left. - 2a\tau] \exp(-R^2 / 4a\tau) d\tau \right\} d\xi d\eta \\ \tau_{xy} &= -\frac{2G(1 + v) \alpha T_0}{\pi} \iint_S \frac{(x - \xi)(y - \eta)}{R^4} \left[ 1 - \int_0^t \frac{R^4}{16a^2} \int_0^\tau \frac{1}{\tau^3} \exp(-R^2 / 4a\tau) d\tau \right] d\xi d\eta \end{aligned}$$

Вычисляя внутренние интегралы в формулах (3.5), имеем

$$(3.6) \quad \begin{aligned} \sigma_y &= -G(1 + v) \alpha T_0 \left\{ 1 + \frac{1}{\pi} \iint_S \frac{1}{R^4} [(y - \eta)^2 - (x - \xi)^2 + \right. \\ &\quad \left. + 2(x - \xi)^2 \Gamma(2, R^2 / 4at) - R^2 \exp(-R^2 / 4at)] d\xi d\eta \right\} \\ \sigma_x &= -G(1 + v) \alpha T_0 \left\{ 1 + \frac{1}{\pi} \iint_S \frac{1}{R^4} [(x - \xi)^2 - (y - \eta)^2 + \right. \\ &\quad \left. + 2(y - \eta)^2 \Gamma(2, R^2 / 4at) - R^2 \exp(-R^2 / 4at)] d\xi d\eta \right\} \\ \tau_{xy} &= -\frac{G(1 + v) \alpha T_0}{2\pi} \iint_S \frac{4(x - \xi)(y - \eta)}{R^4} [1 - \Gamma(2, R^2 / 4at)] d\xi d\eta \\ \Gamma(a, x) &\equiv \int_x^\infty e^{-t} t^{a-1} dt \end{aligned}$$

Так как  $\Gamma(2, R^2 / 4at) \rightarrow 1$  при  $t \rightarrow \infty$ , то, переходя к пределу при  $t \rightarrow \infty$  в (3.6), получаем

$$(3.7) \quad \sigma_y = \sigma_x = -G(1 + v) \alpha T_0, \quad \tau_{xy} = 0$$

Таким образом, в области  $S$  при  $t \rightarrow \infty$  остаточные напряжения создают состояние всестороннего равномерного растяжения. Заметим, что двустороннее растяжение способствует хрупкому разрушению в большей степени, чем одностороннее [1].

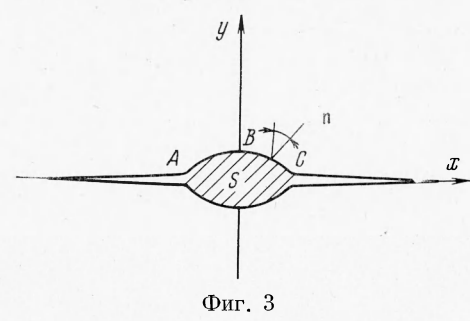
Доказанная теорема позволяет указать асимптотический размер  $l_\infty$  горячей трещины при  $t \rightarrow \infty$  для произвольной области  $S$ ; этот размер, очевидно, по-прежнему дается формулой (2.12), если только трещина не выходит из области  $S$ . Отсюда следует, что если длина начальной трещины  $2l_0$  меньше, чем  $2l_\infty$ , т. е. выполняется условие

$$(3.8) \quad l_0 < K_c^2 / \pi [GT_0(1 + v)\alpha]^2$$

то начальная трещина не развивается. Формула (3.8) дает простой достаточный критерий, при выполнении которого горячая трещина не образуется. Отметим, что характеристики материала  $l_0$  и  $K_c$  в (3.8) соответствуют остывшему металлу при  $T = 0$ .

**4. Хрупкое разрушение от локального нагрева.** Пусть при  $t = 0$  на границе области  $S$  возникает скачок нормального смещения, соответствующий мгновенному нагреванию шайбы  $S$  до температуры  $T_0$ , если шайба до нагревания была вставлена без натяга (температура остальной части тела равна нулю при  $t = 0$ ).

В результате при  $t = 0$  в теле вне области  $S$  возникнут растягивающие напряжения, которые могут привести к образованию трещины. Напряжения в шайбе будут сжимающими. При  $t \rightarrow \infty$  напряжения во всем теле в этом случае будут, очевидно, стремиться к нулю. При  $t = 0$  напряжения будут наибольшими, причем в шайбе реализуется состояние всестороннего равномерного сжатия



Фиг. 3

$$(4.1) \quad \sigma_x = \sigma_y = -G(1+\nu)\alpha T_0, \quad \tau_{xy} = 0 \text{ при } t = 0$$

Очевидно, что трещина в данном случае образуется мгновенно при  $t = 0$  и в дальнейшем не развивается.

Описанный механизм хрупкого разрушения типичен для локального нагрева ненарушенного материала (например, образование трещины в толстостенном стакане с быстро налитой горячей водой).

В большинстве практически интересных случаев для хрупких материалов длина трещины, образующейся от локального нагрева, гораздо больше характерного линейного размера области  $S$ . В этом последнем случае можно применить простой асимптотический метод решения задачи, основанный на «принципе микроскопа» [1].

Представим себе, что к контуру области  $S$  в точках  $A$  и  $C$  выходят трещины (фиг. 3). Для простоты примем, что область  $S$  симметрична относительно осей  $x$  и  $y$ . К границе области  $S$  будут приложены нагрузки (со стороны шайбы), определяемые формулой (4.1).

Определим размеры асимптотически больших трещин. На основе принципа микроскопа [1], применимом в том случае, когда линейные размеры области  $S$  малы по сравнению с длиной трещины (или же с ее радиусом в осесимметричном случае), приходим к следующим сингулярным задачам.

**Плоская задача.** Пусть к противоположным берегам прямолинейной сквозной трещины длиной  $2l$ , находящейся в бесконечной пластине, приложены равные и противоположно направленные сосредоточенные силы  $P$ ; сила  $P$  действует в середине трещины перпендикулярно к ее поверхности. На бесконечности напряжение отсутствует. При помощи (4.1) находим главный вектор нагрузок, приложенных к дуге  $ABC$  со стороны нагретой области  $S$  (см. фиг. 3)

$$(4.2) \quad P = G(1+\nu)\alpha T_0 \int_{ABC} \cos(n, y) ds = G(1+\nu)\alpha T_0 L$$

где  $L$  — длина проекции дуги  $ABC$  на ось  $x$ .

В рассматриваемом случае коэффициент интенсивности напряжений [1]

$$(4.3) \quad K_I = P / \pi \sqrt{2l}$$

Согласно критерию локального разрушения длина хрупкой трещины определяется условием  $K_I = K_c$ , т. е.

$$(4.4) \quad K_c = P / \pi \sqrt{2l}$$

Отсюда находим длину асимптотически больших трещин

$$(4.5) \quad l = \frac{1}{2} \left[ \frac{\pi G (1 + v) \alpha T_0 L}{\pi K_c} \right]^2$$

*Осьсимметрична задача.* Пусть некоторая область  $V$ , имеющая три плоскости симметрии, в начальный момент времени мгновенно нагрелась до температуры  $T_0$ . В результате мгновенного хрупкого разрушения образовалась дискообразная трещина, и в том наиболее часто встречающемся случае, когда ее радиус велик по сравнению с размером области  $V$ , на основании принципа микроскопа [1] приходим к следующей задаче.

Пусть к противоположным поверхностям круговой дискообразной трещины радиуса  $R$ , находящейся в бесконечном теле, приложены равные и противоположно направленные сосредоточенные силы  $P$ ; сила  $P$  действует по оси круглой дискообразной трещины. В этом случае, очевидно, имеем

$$(4.6) \quad P = G (1 + v) \alpha T_0 \iint (\mathbf{n}_z dS) = G (1 + v) \alpha T_0 S_0$$

где  $S_0$  — площадь проекции границы области  $V$  на плоскость трещины.

Коэффициент интенсивности напряжений [1]

$$(4.7) \quad K_I = P / (\pi R)^{3/2}$$

При помощи критерия локального разрушения  $K_I = K_{Ic}$  находим радиус дискообразной трещины

$$(4.8) \quad R = \pi^{-1} [G (1 + v) \alpha T_0 S_0 / K_{Ic}]^{2/3}$$

Например, в случае эллипсоидальной области  $V$  имеем

$$(4.9) \quad S_0 = 4ab, \quad R = \pi^{-1} [4G (1 + v) \alpha ab T_0 / K_{Ic}]^{2/3}$$

Здесь  $a$  и  $b$  — главные полуоси эллипса в сечении эллипсоида дискообразной трещиной.

Поступила 5 III 1973

#### ЛИТЕРАТУРА

1. Черепанов Г. И. Механика хрупкого разрушения. М., «Наука», 1974.
2. Паркус Г. Неустановившиеся температурные напряжения. М., Физматгиз, 1963.